

基于图运算的局部反魔幻着色数的研究

刘丹丹^{1*}, 边红^{1†}, 于海征², 魏丽娜¹

¹新疆师范大学数学科学学院, 新疆 乌鲁木齐

²新疆大学数学与系统科学学院, 新疆 乌鲁木齐

收稿日期: 2021年10月23日; 录用日期: 2021年11月13日; 发布日期: 2021年11月29日

摘要

令 $G = (V(G), E(G))$ 是有 n 个顶点和 m 条边的简单连通图。一个双射 $f : E(G) \rightarrow \{1, 2, \dots, m\}$ 称为图 G 的一个局部反魔幻标号, 如果对于图 G 中的任意两个相邻的顶点 u 和 v 满足 $\omega(u) \neq \omega(v)$, 这里 $\omega(u) = \sum_{e \in E(u)} f(e)$, 其中 $E(u)$ 是与点 u 相关联的边的集合。如果给图 G 中任意一个顶点 v 着色 $\omega(v)$, 那么图 G 的任意一个局部反魔幻标号都会导出图 G 的一个正常点着色。图 G 的局部反魔幻着色数 $\chi_{la}(G)$ 是图 G 的局部反魔幻标号所导出的所有着色中的最少颜色数。本文主要研究经过一些图运算(如: 友谊图加一条悬挂边 $F_n + \{e\}$ 和一些特殊图星图 $P_m(S_n)$ 和双星图 $P_m(S_{l,q})$ 的剖分图)之后图的局部反魔幻着色问题。

关键词

反魔幻标号, 局部反魔幻标号, 局部反魔幻着色数, 剖分

Research on the Local Antimagic Chromatic Number Based on Graph Operations

Dandan Liu^{1*}, Hong Bian^{1†}, Haizheng Yu², Lina Wei¹

¹School of Mathematical Sciences, Xinjiang Normal University, Urumqi Xinjiang

²College of Mathematics and System Sciences, Xinjiang University, Urumqi Xinjiang

* 第一作者。

† 通讯作者。

Abstract

Let $G = (V(G), E(G))$ be a simple connected graph with $|V(G)| = n$ and $|E(G)| = m$. A bijection $f : E(G) \rightarrow \{1, 2, \dots, m\}$ is called local antimagic labeling if for any two adjacent vertices u and v , $\omega(u) \neq \omega(v)$, where $\omega(u) = \sum_{e \in E(u)} f(e)$, and $E(u)$ is the set of edges incident to u . Thus any local antimagic labeling induces a proper vertex coloring of G , where the vertex u is assigned the color $\omega(u)$. The local antimagic chromatic number $\chi_{la}(G)$ is the minimum number of colors taken over all colorings induced by local antimagic labelings of G . In this paper, we study the exact values of the local antimagic chromatic numbers of some graphs based graph operation, such as $F_n + \{e\}$, where e is a pendant edge adding to F_n and the sub-divided graphs $P_m(S_n)$ and $P_m(S_{l,q})$ of some special graphs.

Keywords

Antimagic Labeling, Local Antimagic Labeling, Local Antimagic Chromatic Number, Sub-Divided

Copyright © 2021 by author(s) and Hans Publishers Inc.

This work is licensed under the Creative Commons Attribution International License (CC BY 4.0).

<http://creativecommons.org/licenses/by/4.0/>



1. 引言

令 $G = (V(G), E(G))$ 是一个没有孤立点的有限简单无向图. 称一个双射 $f : E(G) \rightarrow \{1, 2, \dots, |E(G)|\}$ 为图 G 的反魔幻标号, 如果 f 满足对于图 G 的任意两个顶点 u 和 v 都有 $\omega(u) \neq \omega(v)$, 其中 $\omega(u) = \sum_{e \in E(u)} f(e)$, $E(u)$ 是与顶点 u 相关联的边的集合. 一个图 G 称为反魔幻的, 如果图 G 有一个反魔幻标号. 图的反魔幻标号的定义最早是由 Hartsfield 和 Ringel [1] 在 1990 年首次提出的, 他们还提出“除了 K_2 以外的所有连通简单图都有一个反魔幻标号”的猜想, 但至今这个猜想尚未完全解决.

近几年, Arumugam 等人 [2] 和 Bensmail 等人 [3] 分别独立地提出了一个比反魔幻标号相对较弱的定义: 局部反魔幻标号, 并且也都提出“除了 K_2 以外的所有连通简单图都有一个局部反魔幻标

号”的猜想. 称一个双射 $f: E(G) \rightarrow \{1, 2, \dots, |E(G)|\}$ 是图 G 的一个局部反魔幻标号, 如果对于图 G 的任何两个相邻的顶点 u 和 v 都有 $\omega(u) \neq \omega(v)$, 其中 $\omega(u) = \sum_{e \in E(u)} f(e)$, $E(u)$ 是与点 u 相关联的边的集合. 一个图 G 称为局部反魔幻的, 如果图 G 有一个局部反魔幻标号. 若对图 G 的点 v 着颜色 $\omega(v)$, 显然图 G 的任一个局部反魔幻标号自然地导出图 G 的一个正常点着色. 同时 Arumugam 等人 [2] 提出了局部反魔幻着色数的定义: 图 G 的局部反魔幻着色数是其局部反魔幻标号中所使用的最少颜色数, 记为 $\chi_{la}(G)$, 他们还给出了路、圈、友谊图、轮图等一些特殊图类的局部反魔幻着色数的确切值.

Arumugam 等人 [2] 给出了路、图 G 与 $\overline{k_2}$ 的交图、轮图 ($n \equiv 0 \pmod{4}$) 的局部反魔幻着色数的范围, 以及星图、友谊图、友谊图删去一条边、线图、圈图的局部反魔幻着色数的确切值. 在 2018 年, Lau [4] 等人研究了与圈相关的联图的局部反魔幻着色数, 以及一个图删去或加上一条特定边的局部反魔幻着色数; 在文献 [5] 中, 研究了一些带有割点的图的局部反魔幻着色数, 比如: 蝌蚪图等; 在文献 [6] 中, 给出了完全二部图的局部反魔幻着色数; 同年 Arumugam [7] 等人给出了路、圈、完全图 K_n 与空图 $\overline{K_m}$ 的点 corona 积的局部反魔幻着色数; Nazula [8] 也在同年给出了单圈图的局部反魔幻着色数的刻画, 比如: 风筝图、圈有两条悬挂边. 在 2020 年, Dafik [9] 等人给出了友谊图的剖分图的局部反魔幻着色数的确切值, 以及轮图、星图的剖分图的局部反魔幻着色数的范围.

基于 Arumugam、Lau、Dafik 等人研究的友谊图和星图在一些图运算下局部反魔幻着色数的结果, 本文研究了友谊图加一条悬挂边和星图、双星图的剖分图的局部反魔幻着色数.

2. 主要结果

一个友谊图是任意两个顶点都恰好有一个公共邻点的简单图, 记为 F_n , 其中 n 指的是 F_n 中三角形的个数. 令友谊图 F_n 的点集为 $V(F_n) = \{u_i : 1 \leq i \leq n\} \cup \{v_i : 1 \leq i \leq n\} \cup \{x\}$, 边集为 $E(F_n) = \{u_i v_i : 1 \leq i \leq n\} \cup \{x u_i : 1 \leq i \leq n\} \cup \{x v_i : 1 \leq i \leq n\}$. 假设 e 是友谊图 F_n 的任意一条边, 那么 $F_n - \{e\}$ 则表示 F_n 删去一条边 e . Arumugam 等人 [2] 得到下面的引理.

引理 1 [2] 对于图 $F_n - \{e\}$, e 是友谊图 F_n 的任意一条边, 那么 $\chi_{la}(F_n - \{e\}) = 3$.

本节考虑友谊图 F_n 加上任意一条悬挂边 e 之后的局部反魔幻着色数, 得到以下结果.

定理 2 对于图 $F_n + \{e\}$, e 为加在友谊图 $F_n (n \geq 2)$ 上的任意一条悬挂边, 则

$$3 \leq \chi_{la}(F_n + \{e\}) \leq \begin{cases} 3, & e = xv; \\ 4, & \text{其它.} \end{cases}$$

证明 令图 $F_n + \{e\}$ 的点集为 $V(F_n + \{e\}) = V(F_n) + \{v\}$, 边集为 $E(F_n + \{e\}) = E(F_n) + \{e\}$. 可以明显得到 $\chi_{la}(F_n + \{e\}) \geq \chi(F_n + \{e\}) = 3$. 接下来, 定义一个双射 $f: E \rightarrow \{1, 2, \dots, 3n + 1\}$, 则

$$f(e) = 3n + 1;$$

$$f(u_i v_i) = i, 1 \leq i \leq n;$$

$$f(x u_i) = 2n + 1 - i, 1 \leq i \leq n;$$

和

$$f(xv_i) = 3n + 1 - i, 1 \leq i \leq n.$$

根据以上标号, 分以下两种情形讨论各点的权值之和:

情形 1 悬挂边 e 加在友谊图 F_n 的中心点 x 上. 由讨论可知 $e = xv$, 此时各顶点的权值之和为:

$$\omega(v) = 3n + 1;$$

$$\omega(x) = 4n(n + 1) + 1;$$

$$\omega(v_i) = 3n + 1, 1 \leq i \leq n;$$

和

$$\omega(u_i) = 2n + 1, 1 \leq i \leq n.$$

明显地, f 是图 $F_n + \{e\}$ 的一个局部反魔幻标号, 且使用了 3 种互异的颜色, 因此 $\chi_{la}(F_n + \{e\}) \leq 3$. 故 $\chi_{la}(F_n + \{e\}) = 3$. 如 $F_3 + \{e\}$ 的局部反魔幻着色见图 1.

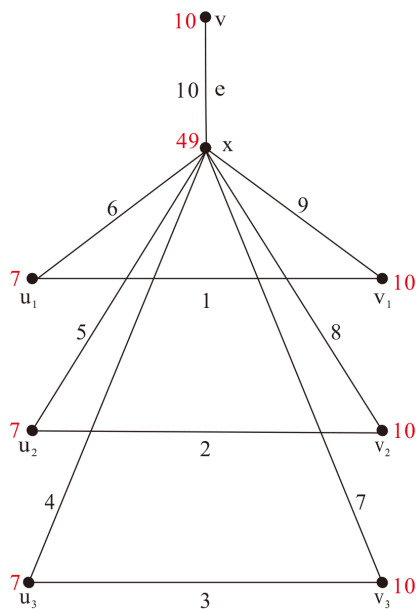


Figure 1. The local antimagic coloring of $F_3 + \{e\}$

图 1. $F_3 + \{e\}$ 的局部反魔幻着色

情形 2 悬挂边 e 加在友谊图 F_n 的任意一个二度点上. 不失一般性, 假设悬挂边与点 u_1 相连, 即 $e = u_1v$, 此时可以得到顶点的权值之和为:

$$\omega(v) = 3n + 1;$$

$$\omega(u_1) = 5n + 2;$$

$$\omega(u_i) = 2n + 1, 2 \leq i \leq n;$$

$$w(v_i) = 3n + 1, 1 \leq i \leq n;$$

和

$$\omega(x) = n(4n + 1), 1 \leq i \leq n.$$

明显地, f 是图 $F_n + \{e\}$ 的一个局部反魔幻标号且使用了 4 种互异的颜色, 故 $\chi_{la}(F_n + \{e\}) \leq 4$. 如 $F_3 + \{e\}$ 的局部反魔幻着色见图 2.

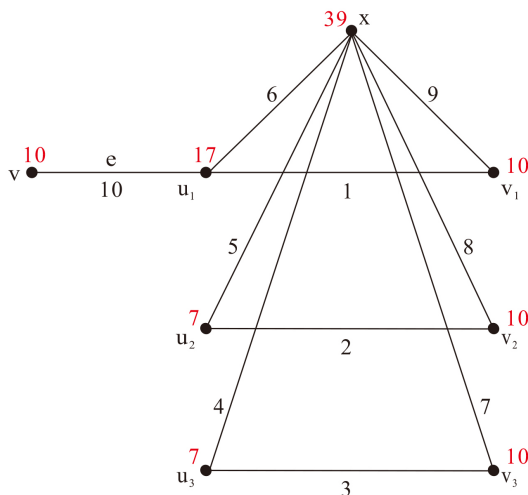


Figure 2. The local antimagic coloring of $F_3 + \{e\}$

图 2. $F_3 + \{e\}$ 的局部反魔幻着色

引理 2 [2] 对于任意一个有 l 个叶子的树 T , 有 $\chi_{la}(T) \geq l + 1$.

引理 3 [9] 图 $SS_{n,m}$ 是星图的边剖分图. 对于 $n \geq 2$ 和 $m \geq 3$ 的任意整数, 图 $SS_{n,m}$ 的局部反魔幻着色数为 $n + 1 \leq \chi_{la}(SS_{n,m}) \leq n + 2$.

由引理 3, 本文找到了使星图的剖分图 $P_m(S_n)$ 的局部反魔幻着色数为 $\chi_{la}(P_m(S_n)) = n + 1$ 的图.

定理 4 图 $P_m(S_n)$ 是星图 S_n 的 m 次边剖分图, 若满足以下任一条件:

- 1) $m = 1$, 且 $2 \leq n \leq 3$;
- 2) m 为偶数且 $2m \leq n \leq 2m + 1$, 则有

$$\chi_{la}(P_m(S_n)) = n + 1.$$

证明 令图 $P_m(S_n)$ 的点集为 $V(P_m(S_n)) = \{u_0\} \cup \{u_{ki} : 1 \leq k \leq m, 1 \leq i \leq n\} \cup \{u_{0i} : 1 \leq i \leq n\}$, 边集为 $E(P_m(S_n)) = \{u_0u_{1i} : 1 \leq i \leq n\} \cup \{u_{ki}u_{k+1i} : 1 \leq k \leq m - 1, 1 \leq i \leq n\} \cup \{u_{mi}u_{0i} : 1 \leq i \leq n\}$. 图 $P_m(S_n)$ 的顶点数为 $|V(P_m(S_n))| = mn + n + 1$, 边数为 $|E(P_m(S_n))| = mn + n$. 定义一个双射 $f : E \rightarrow \{1, 2, \dots, |E(P_m(S_n))|\}$, 得到:

情形 1 当 $m = 1$ 时, 有 $\chi_{la}(P_1(S_2)) \leq 3$, 和 $\chi_{la}(P_1(S_3)) \leq 4$ (它们的局部反魔幻着色见下图 3 的 (a)、(b)), 故 f 是一个局部反魔幻标号使得当 $2 \leq n \leq 3$ 时, 有 $P_1(S_n) \leq n + 1$.

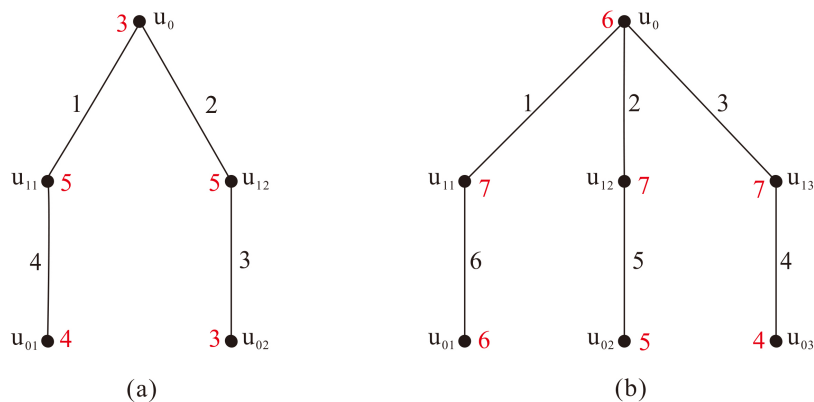


Figure 3. (a) the local antimagic coloring of $P_1(S_2)$; (b) the local antimagic coloring of $P_1(S_3)$

图 3. (a) 图 $P_1(S_2)$ 的局部反魔幻着色; (b) 图 $P_1(S_3)$ 的局部反魔幻着色

情形 2 当 m 为偶数时:

$$\begin{aligned}
 f(u_0u_{1i}) &= i, 1 \leq i \leq n; \\
 f(u_{mi}u_{0i}) &= mn + i, 1 \leq i \leq n; \\
 f(u_{0i}u_{mi}) &= mn + n + 1 - i, 1 \leq i \leq n; \\
 f(u_{ki}u_{k+1i}) &= \begin{cases} mn + (1 - k)n + 1 - i, & k \equiv 1 \pmod{2}, 1 \leq i \leq n; \\ kn + i, & k \equiv 0 \pmod{2}, 1 \leq i \leq n. \end{cases}
 \end{aligned}$$

由上述标号计算可知, 此时各顶点的权值之和为:

$$\begin{aligned}
 \omega(u_0) &= \frac{n(n+1)}{2}; \\
 \omega(u_{0i}) &= mn + i, 1 \leq i \leq n; \\
 \omega(u_{ki}) &= \begin{cases} mn + 1, & k \equiv 1 \pmod{2}, 1 \leq i \leq n; \\ (m+2)n + 1, & k \equiv 0 \pmod{2}, 1 \leq i \leq n. \end{cases}
 \end{aligned}$$

当 $k \equiv 1 \pmod{2}$ 时, 得到 $\omega(u_{ki}) = \omega(u_{01}) = mn + 1$; $\omega(u_0)$ 必定与某个 $\omega(u_{0i})$ 相等, $2 \leq i \leq n$: 当 $n = 2m$ 时, $\omega(u_0) = \omega(u_{0\frac{n}{2}}) = \frac{n(n+1)}{2}$; 当 $n = 2m + 1$ 时, 得到 $\omega(u_0) = \omega(u_{0n}) = \frac{(2m+1)(2m+1+1)}{2}$. 明显地, f 是一个局部反魔幻标号且使用了 $n + 1$ 种互异的颜色, 因此 $\chi_{la}(P_m(S_n)) \leq n + 1$.

星图的剖分图具有 n 个叶子点和一个中心点, 由引理 2 可知, $\chi_{la}(P_m(S_n)) \geq n + 1$. 综上所述, 当满足上述任一条件时, 有 $\chi_{la}(P_m(S_n)) = n + 1$. 如 $P_2(S_4)$ 的局部反魔幻着色见下图 4.

定理 5 图 $P_m(S_{l,q})$ 是双星图 $S_{l,q}$ 的 m 次边剖分图, 当 $l \geq 2$ 和 $q \geq 2$ 为任意整数时, 则 $l + q + 1 \leq P_m(S_{l,q}) \leq l + q + 3$.

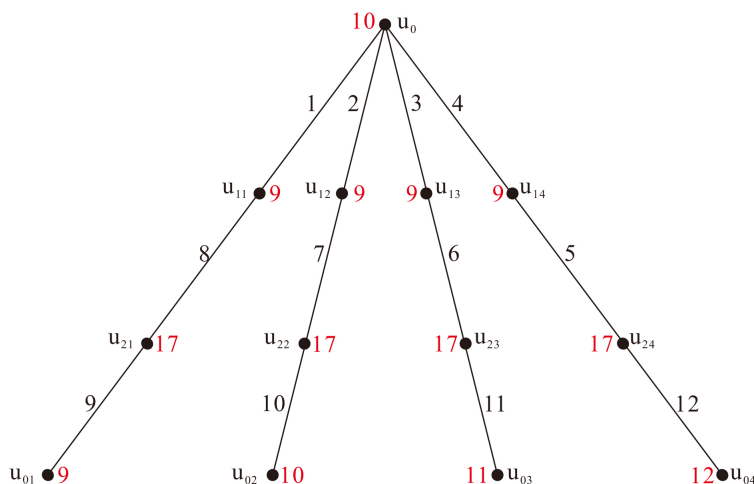


Figure 4. The local antimagic coloring of $P_2(S_4)$

图 4. $P_2(S_4)$ 的局部反魔幻着色

证明 令图 $P_m(S_{l,q})$ 的点集为 $V(P_m(S_{l,q})) = \{u_0^1, u_0^2\} \cup \{u_{ki} : 1 \leq i \leq l, 1 \leq k \leq m\} \cup \{u_{0i} : 1 \leq i \leq l\} \cup \{u_{ki} : l+2 \leq i \leq l+q+1, 1 \leq k \leq m\} \cup \{u_{0i} : l+2 \leq i \leq l+q+1\} \cup \{u_i : 1 \leq i \leq m\}$, 边集为 $E(P_m(S_{l,q})) = \{u_0^1 u_{1i} : 1 \leq i \leq l\} \cup \{u_{ki} u_{k+1i} : 1 \leq i \leq l, 1 \leq k \leq m-1\} \cup \{u_{mi} u_{0i} : 1 \leq i \leq l\} \cup \{u_0^1 u_1\} \cup \{u_i u_{i+1} : 1 \leq i \leq m-1\} \cup \{u_m u_0^2\} \cup \{u_0^2 u_{1i} : l+2 \leq i \leq l+q+1\} \cup \{u_{ki} u_{k+1i} : l+2 \leq i \leq l+q+1, 1 \leq k \leq m-1\} \cup \{u_{mi} u_{0i} : l+2 \leq i \leq l+q+1\}$. 图 $P_m(S_{l,q})$ 的顶点数为 $|V(P_m(S_{l,q}))| = (m+1)(l+q+1) + 1$, 边数为 $|E(P_m(S_{l,q}))| = (m+1)(l+q+1)$. 定义一个双射 $f : E \rightarrow \{1, 2, \dots, |E(P_m(S_{l,q}))|\}$, 得到

$$f(u_m u_0^2) = (m+1)(l+q+1) - l;$$

$$f(u_{0i} u_{mi}) = (m+1)(l+q+1) + 1 - i, 1 \leq i \leq l;$$

$$f(u_{0i} u_{mi}) = (m+1)(l+q+1) + 1 - i, l+2 \leq i \leq l+q+1;$$

$$f(u_0^1 u_1) = \begin{cases} \frac{(m-1)(l+q+1)}{2} + l + 1, & 1 \equiv m \pmod{2}; \\ m(l+q+1) + \frac{[1-(m-1)](l+q+1)}{2} - l, & 1 \equiv m-1 \pmod{2}; \end{cases}$$

$$f(u_i u_{i-1}) = \begin{cases} \frac{(m-k)(l+q+1)}{2} + l + 1, & k \equiv m \pmod{2}; \\ m(l+q+1) + \frac{[k-(m-1)](l+q+1)}{2} - l, & k \equiv m-1 \pmod{2}; \end{cases}$$

$$f(u_0^1 u_{1i}) = \begin{cases} \frac{(m-1)(l+q+1)}{2} + i, & 1 \equiv m \pmod{2}, 1 \leq i \leq l; \\ m(l+q+1) + \frac{[1-(m-1)](l+q+1)}{2} + 1 - i, & 1 \equiv m-1 \pmod{2}, 1 \leq i \leq l; \end{cases}$$

$$f(u_{ki} u_{k-1i}) = \begin{cases} \frac{(m-k)(l+q+1)}{2} + i, & k \equiv m \pmod{2}, 1 \leq i \leq l; \\ m(l+q+1) + \frac{[k-(m-1)](l+q+1)}{2} + 1 - i, & k \equiv m-1 \pmod{2}, 1 \leq i \leq l; \end{cases}$$

$$f(u_0^2 u_{1i}) = \begin{cases} \frac{(m-1)(l+q+1)}{2} + i, & k \equiv m \pmod{2}, l+2 \leq i \leq l+q+1; \\ m(l+q+1) + \frac{[1-(m-1)](l+q+1)}{2} + 1 - i, & k \equiv m-1 \pmod{2}, l+2 \leq i \leq l+q+1; \end{cases}$$

$$f(u_{ki}u_{k-1i}) = \begin{cases} \frac{(m-k)(l+q+1)}{2} + i, & k \equiv m \pmod{2}, l+2 \leq i \leq l+q+1; \\ m(l+q+1) + \frac{[k-(m-1)](l+q+1)}{2} + 1 - i, & k \equiv m-1 \pmod{2}, l+2 \leq i \leq l+q+1. \end{cases}$$

由以上标号可得, 各顶点的权值之和为:

$$\begin{aligned} \omega(u_{0i}) &= (m+1)(l+q+1) + 1 - i, 1 \leq i \leq l; \\ \omega(u_0^1) &= \begin{cases} \frac{m(l+1)^2+l+1}{2}, & k \equiv m \pmod{2}; \\ \frac{(m+1)(l+1)^2+l+1}{2}, & k \equiv m-1 \pmod{2}; \end{cases} \\ \omega(u_{0i}) &= (m+1)(l+q+1) + 1 - i, l+2 \leq i \leq l+q+1; \\ \omega(u_0^2) &= \begin{cases} \frac{mq^2+q}{2} + (m+1)(l+q+1), & k \equiv m \pmod{2}; \\ \frac{(m+1)q^2+q}{2} + (m+1)(l+q+1), & k \equiv m-1 \pmod{2}; \end{cases} \\ \omega(u_{ki}) &= \begin{cases} (m+1)(l+q+1) + 1, & k \equiv m \pmod{2}, 1 \leq i \leq l; \\ m(l+q+1) + 1, & k \equiv m-1 \pmod{2}, 1 \leq i \leq l; \end{cases} \\ \omega(u_i) &= \begin{cases} (m+1)(l+q+1) + 1, & k \equiv m \pmod{2}, 1 \leq i \leq m; \\ m(l+q+1) + 1, & k \equiv m-1 \pmod{2}, 1 \leq i \leq m; \end{cases} \\ \omega(u_{ki}) &= \begin{cases} (m+1)(l+q+1) + 1, & k \equiv m \pmod{2}, l+2 \leq i \leq l+q+1; \\ m(l+q+1) + 1, & k \equiv m-1 \pmod{2}, l+2 \leq i \leq l+q+1. \end{cases} \end{aligned}$$

当 $i = l + q + 1, k \equiv m - 1 \pmod{2}$ 时, 有 $\omega(u_{0l+q+1}) = m(l + q + 1) + 1$. 明显地, f 是图 $P_m(S_{l,q})$ 的一个局部反魔幻标号且使用了 $l+q+3$ 种互异的颜色, 故 $P_m(S_{l,q}) \leq l + q + 3$. 根据引理 2 可知 $l + q + 1 = \chi(P_m(S_{l,q})) \leq \chi_{la}(P_m(S_{l,q}))$. 综上可得, 图 $P_m(S_{l,q})$ 的局部反魔幻着色数为 $l + q + 1 \leq P_m(S_{l,q}) \leq l + q + 3$. 如 $P_2(S_{3,4})$ 的局部反魔幻着色见图 5.

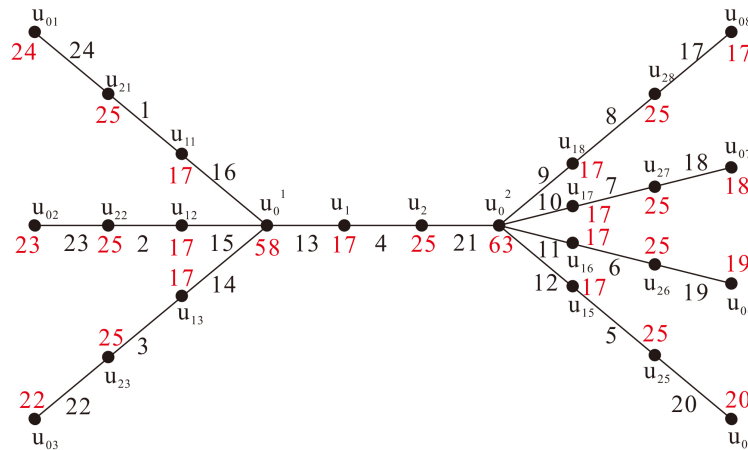


Figure 5. The local antimagic coloring of $P_2(S_{3,4})$

图 5. $P_2(S_{3,4})$ 的局部反魔幻着色

基金项目

国家自然科学基金项目(11761070, 61662079); 2021年新疆维吾尔自治区自然基金联合项目(2021D01C078); 2020年新疆师范大学一流专业、一流课程项目资助。

参考文献

- [1] Hartsfield, N. and Ringel, G. (1990) *Pearls in Graph Theory*. Academic Press, INC., Boston.
- [2] Arumugam, S., Premalatha, K., Bacă, M. and Semaničová-Feňovčíková, A. (2017) Local Antimagic Vertex Coloring of a Graph. *Graphs and Combinatorics*, **33**, 275-285.
<https://doi.org/10.1007/s00373-017-1758-7>
- [3] Bensmail, J., Senhaji, M. and Lyngsie, K.S. (2017) On a Combination of the 1-2-3 Conjecture and the Antimagic Labelling Conjecture. *Discrete Mathematics and Theoretical Computer Science*, **19**, 1-17.
- [4] Lau, G.C., Shiu, W.C. and Ng, H.K. (2018) On Local Antimagic Chromatic Number of Cycle-Related Join Graphs. *Discussiones Mathematicae Graph Theory*, **41**, 133-152.
<https://doi.org/10.7151/dmgt.2177>
- [5] Lau, G.C., Shiu, W.C. and Ng, H.K. (2018) On Local Antimagic Chromatic Number of Cut-Vertices. arXiv:1805.04801 [math.CO]
- [6] Lau, G.C., Ng, H.K. and Shiu, W.C. (2020) Affirmative Solutions on Local Antimagic Chromatic Number. *Graphs and Combinatorics*, **36**, 1337-1354.
<https://doi.org/10.1007/s00373-020-02197-2>
- [7] Arumugam, S., Lee, Y.C., Premalatha, K. and Wang, T.M. (2018) On Local Antimagic Vertex Coloring for Corona Products of Graphs. arXiv:1808.04956 [math.CO]
<https://doi.org/10.1007/s00373-017-1758-7>
- [8] Nazula, N.H., Slamini, S. and Dafik, D. (2018) Local Antimagic Vertex Coloring of Unicyclic Graphs. *Indonesian Journal of Combinatorics*, **2**, 30-34.
<https://doi.org/10.19184/ijc.2018.2.1.4>
- [9] Dafik, D., Agustin, I.H., Marsidi and Kurniawati, E.Y. (2020) On the Local Antimagic Vertex Coloring of Sub-Devided Some Special Graph. *Journal of Physics Conference Series*, **1538**, Article ID: 012021. <https://doi.org/10.1088/1742-6596/1538/1/012021>